

1. まえがき 軟弱地盤上の盛土の安定性の検討は、従来より細片分割法が一般によく用いられており、電算機の発達により、計算に要する時間と労力は、非常に軽減された。しかし、高速道路等の長い区間にわたり、盛土が、施工される場合、全区間にわたり細片法により安定性を検討することは、必ずしも得策ではない。そのため比較的強度の高い地盤や予備的検討には、モノグラフを用いることが考えられる。本論文では、このモノグラフを、3種の全応力法に分け作成した。

2. スベリに対する安定解析 i) 地盤条件及び解析時の仮定

ここで用いる解析は、盛土と地盤が互たがて单一層で構成され、また単一斜面でなければならぬ。地盤の強度は、深さ方向に強度増加する一軸せん断強度とする。(Fig-1 参照)

また地震時に作用するスベリモーメントは、震度法による水平震度、 $r_{sh} = 0.15$ として計算した。

地盤の次下による盛土内の応力状態及び変形を破壊時に ^{(1), (2)} これまで考慮しての鉛直キ裂が生ずる場合(ここで鉛直クラック ^{(3), (4)} と言ふことにする。)②鉛直キ裂部に主働土圧が加わる場合(ここで主働土圧法と言うことにする。)③従来の円弧スベリ面法による場合、について解析し主に主働土圧法についてまとめた。

ii) 最小安全率 安全率は、 r, d, n (r, d は H に対する半径と層厚の無次元量: Fig-1 参照) 及び各土質常数の関数となる。 n を定数として、盛土材の強度常数をいくつかのケースに分け、 d に対する最小安全率を、 $\sigma_{fr} = 0$ の解から決定した。

a) 鉛直クラック法

$$F_{s1} = \frac{M_{rgc} + M_{rgz}}{Md_1 + [Md_{E1}]} = \frac{C_0}{\gamma_f H} \times \frac{M_{rgc} + \bar{C}_g M_{rgz}}{Md_1 + [Md_{E1}]} = \frac{C_0}{\gamma_f H} \cdot f_{s1} \quad (1)$$

(ただし M : Moment, r : resisting, g : ground, z : depth, c : cohesion, d : driving. また () 内は地震時, $\bar{C}_g = \alpha H / C_0$)

$\partial f_{s1} / \partial r = 0$ より f_{s1} を最小にする r は, $Md_1 + [Md_{E1}] \neq 0$ であるから

$$\{ M_{rgc} + \bar{C}_g \cdot M_{rgz} \} \times \{ Md_1 + [Md_{E1}] \} - \{ M_{rgc} + \bar{C}_g \cdot M_{rgz} \} \times \{ Md_1 + [Md_{E1}] \}' = 0 \quad (2)$$

を満足する r である。(2)式より決定された r を、(1)式に代入して、最小安全率を求める。以下 b), c) 同様。

b) 主働土圧法

$$F_{s2} = \frac{M_{rgc} + M_{rgz}}{Md_1 + Md_2 + [Md_{E1}]} = \frac{C_0}{\gamma_f H} \times \frac{M_{rgc} + \bar{C}_g \cdot M_{rgz}}{Md_1 + Md_2 + [Md_{E1}]} = \frac{C_0}{\gamma_f H} \cdot f_{s2} \quad (3)$$

c) 円弧法

$$F_{s3} = \frac{M_{rgc} + M_{rgz} + Mr_{fc} + Mr_{f\phi}}{Md_1 + Md_3 + [Md_{E1} + Md_{E3}]} = \frac{C_0}{\gamma_f H} \left\{ \frac{M_{rgc} + \bar{C}_g \cdot M_{rgz}}{Md_1 + Md_3 + [Md_{E1} + Md_{E3}]} + \lambda \frac{Mr_{fc} + \bar{C}_f \cdot Mr_{f\phi}}{Md_1 + Md_3 + [Md_{E1} + Md_{E3}]} \right\} \quad (4)$$

$$= \frac{C_0}{\gamma_f H} \cdot f_{s3} \quad (4)$$

(ただし f : fill, ϕ : friction, $\bar{C}_f = \gamma_f \cdot H / C_f \cdot \tan \phi$, $\lambda = C_f / C_0$)

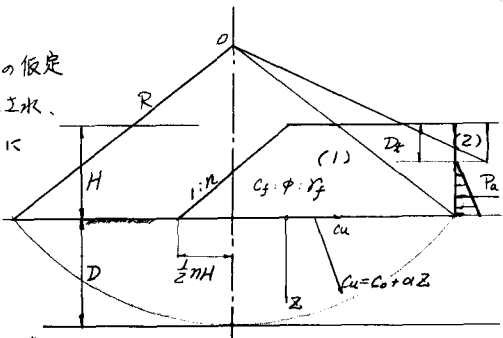


Fig-1 盛土横断面図と地盤常数

3. 結果と考察

結果として $f_{s1} > f_{s2} > f_{s3}$ が分かる。
関係が Fig-2 に示されています。

今、3種は、破壊に移る段階ごとに仮定が、下さるべきであると考えてみる。すると、円弧法 (f_{s3}) が、最も安全側の計算法であり、主動土圧法 (f_{s2})、鉛直クラック法 (f_{s1}) が、安全側から、下へくると言える。

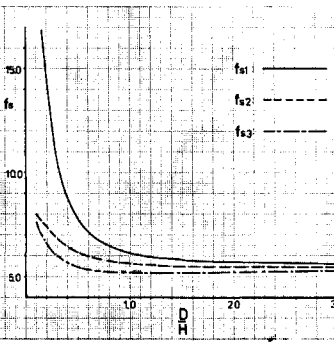


Fig-3. 3種法の比較(同一条件)

また f_s の値に注目すると、盛土内の仮定の影響の少ない f_{s1} が、 1.5 を越える領域で、3種法は、漸次、近似し、逆の領域で差が、顕著となる。鉛直クラック法と主動土圧法は、次下が大きい場合に生ずる盛土内クラックを仮定している。したがって、盛土高さに比べて、層厚の小さな場合は、大きめ変形が生じ得るために、適用できない。ただし、深い軟弱地盤に、浅い位置の砂層の分布があり、計算上砂層の上部面を通るすべり面について、安定性を検討する場合や浅い層厚でも、非常に圧縮性が、大きい場合は、適用できると考える。

Fig-4 B と Fig-5 に、主動土圧法のモノグラフを示す。盛土の内部摩擦係数と盛土の勾配 β と共に、2枚一組の計算図表が示されている。(この場合、 $n=1.8$, $\phi=30^\circ$ と Fig-4 と Fig-5) Fig-4 は、最小安全率を求めるための係数が、得られるグラフであり、地盤の強度増加項の係数と \bar{C}_g と共に表わされている。Fig-5 は、 \bar{C}_g に無関係に成り立ち、テンションクラックの大きさにより f_{s2} を補正する。

[計算例] $C_u = 1.0 + 0.2 \times 8 (\text{t/m}^2)$ 、深さ $b m$ の軟弱地盤に $n=1.8$ 、 $C_f = 0.0 (\text{t/m}^2)$ 、 $\phi=30^\circ$ 、 $f_g = 1.8 (\text{kg/cm}^2)$ $H=20 m$ の盛土を施工する場合、軟弱地盤底面に接するすべり円の安全率を求める。

$$\bar{C}_g = \alpha H / C_0 = 0.2 \times 2 / 1.0 = 0.4 (\text{m}^3/\text{ton}) \quad D/H = 6.0 / 2.0 = 3.0 \quad dt = 0.0 \sim 5.0 \text{ の間}$$

$$\therefore f_{s2} = 11.83 \quad (\text{Fig-4 用}) \quad \Rightarrow \quad F_{s2} = \frac{C_0}{f_g H} \cdot f_{s2} = \frac{1.0}{1.8 \times 2.0} \times 11.83 = 3.29$$

4. あとがき——主動土圧の仮定は、細片法に適用せず、実際の地盤について解析した場合、よく地盤の挙動に対応していった。手で円弧法に比べて、計算上の労力が、非常に軽減された。またモノグラフは、多種について作成したが、ここで 17、例 1 と 2 一組だけ示した。

本論文は、中央大学教授 久野悟郎博士の絶大なるご支援を仰ぎ、ここに「日の自己見る」にいたる。いつも實大ごあらねに久野先生に、ありためて感謝の意を表わします。

- 1) Skempton 2) 中嶋(1963) 3) Odensstad 4) 中出・栗原

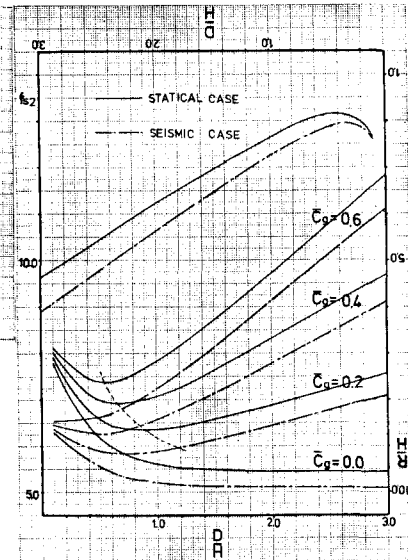


Fig-4. $n=1.8, \phi=30^\circ$ の安定図表

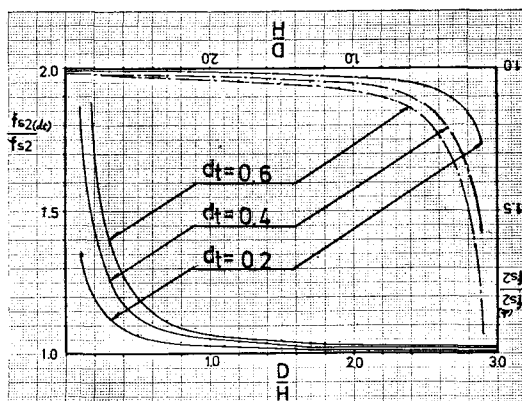


Fig-5. テンションクラックがある場合の補正表